

# NO<sub>2</sub>の癌原性に関する研究（第2報）—その1—

## —NO<sub>2</sub>ガス曝露ラットの発癌に関する研究—

遠藤立一 佐々木裕子 川井利雄

大山謙一 仲真晶子 毛受 優

古井戸良雄 浪江健二 山本法

(埼玉県立衛生短期大学) (埼玉県立衛生短期大学)

### 1はじめに

我々は、NO<sub>2</sub>が如何に発癌に対して係わりあいを有するかを、前年に引きつづき検討を加えた。今回行った実験と前年の実験との差は、NO<sub>2</sub>ガス曝露に先立って、O<sub>3</sub>曝露を行った点にある。この実験は、低濃度NO<sub>2</sub>ガスの癌原性を明確化する手法として、O<sub>3</sub>による呼吸器系への傷害を先行させ、以後、低濃度NO<sub>2</sub>曝露を実施し、肺内に注入された既知癌原性物質(ベンツ(a)ピレン)との関係を注視すべく企図された。したがって実験設定は、前年の実験の成果をより明快にする目的およびさらに環境で起り得る事象、すなわち日中の光化学オキシダントにより傷害を受けた生体にNO<sub>2</sub>ガスが作用するという様式に類似させる目的で行った。今回行ったO<sub>3</sub>の曝露は5 ppm 6時間という比較的強い条件で実施した。したがって、呼吸器系に対する傷害の強さも予測され、またその結果も観察されている。従来から器質的傷害の生じた組織が再生する際に、局所に存在する物質の影響を受け易いといわれている。したがって、今回のO<sub>3</sub>の曝露は呼吸器系傷害を先行させ以後の生体反応にNO<sub>2</sub>が示す態度を観察しようとする実験目的は一応果したと考えられる。またO<sub>3</sub>が主病変を鼻粘膜、気管に有し、肺実質部では刺激作用に止まり、NO<sub>2</sub>とその生体影響に差異があることは両者の交互曝露実験でも指摘されているところである。したがって、今回の実験における肺内の増殖性病変発生に関してはO<sub>3</sub>を発生要因から除外することは可能と考え、また病理組織学的にある程度両ガスの差も確認出来ている。

今回のガス曝露条件としては、NO<sub>2</sub>は0.5 ppm

10日間の連続曝露、O<sub>3</sub>は5 ppm 6時間曝露とし、NO<sub>2</sub>曝露はO<sub>3</sub>曝露後4日後から開始した。ベンツ(a)ピレン(以下Bp)に関しては、注入量および注入法とも前年と全く同様とし、O<sub>3</sub>曝露前1週に行った。実験群、観察時期および対象動物数は、(図1、表1)に示すとおりである。以下、今回の実験結果の概要について検索課題別に述べる。

表1 観察時期及び対象動物数

	O <sub>3</sub> 曝露 後	NO <sub>2</sub> 曝露 直後	1ヶ 月後	3ヶ 月後	6ヶ 月後	12ヶ 月後	計
Bp+NO <sub>2</sub> 群	7	7	7	7	7	21	56
NO <sub>2</sub> 群	5	5	5	5	5	11	36
対照群	8	8	8	8	8	18	58
計	20	20	20	20	20	50	150

注)月数は、NO<sub>2</sub>曝露後に経過した期間を示す。

### (1) 病理組織学的検討

O<sub>3</sub>曝露により生じた肺胞炎はNO<sub>2</sub>曝露直前に実験群の全例にみとめられた。また、NO<sub>2</sub>曝露直前まで継続して観察されている。Bp注入にともなう異物性急性炎症もまたNO<sub>2</sub>曝露直前にみとめられた。したがって、NO<sub>2</sub>+Bp群ではO<sub>3</sub>曝露およびBp注入の影響が、NO<sub>2</sub>単独群ではO<sub>3</sub>曝露の影響がそれぞれNO<sub>2</sub>曝露に加算されたと考えられる。しかしNO<sub>2</sub>曝露後の観察では、O<sub>3</sub>曝露によると考えられる炎症像は消退し、代ってNO<sub>2</sub>曝露による末梢気管支上皮の過形成がみとめられた。Bp注入後の急性炎症像も

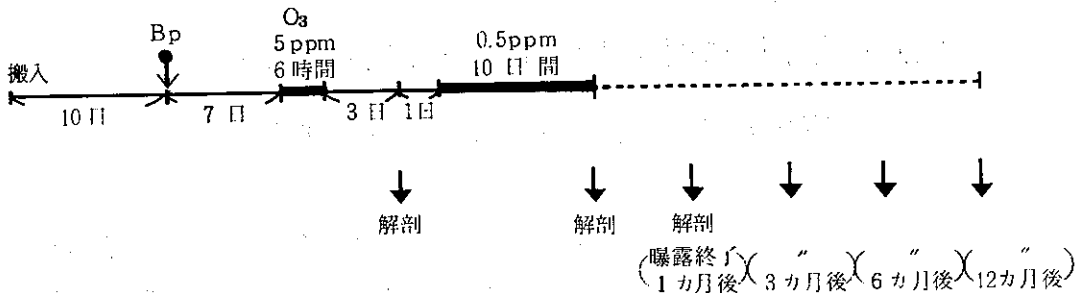


図1 実験方法

$\text{NO}_2$ 曝露終了後1カ月の時点で消退するが、3カ月後、粉じんの再遊出にともなう肺胞炎が出現し、以後12カ月まで観察されている。 $\text{NO}_2$ 曝露による生体反応といわれるリンパ球浸潤は3カ月以後12カ月まで出現頻度に差はあるがみとめられている。これらの結果から、 $\text{NO}_2$ 曝露に先行する $\text{O}_3$ 曝露の影響が少くとも $\text{NO}_2$ 曝露の初期には加算的に作用したと考えられる。しかし、 $\text{NO}_2$ 曝露終了後に観察される病変は、従来からの記載および前年の実験から $\text{NO}_2$ ガス、および炭粉(or Bp)による単独或いは複合した影響によるものと判断される。このような観点から考慮すると $\text{NO}_2 + \text{Bp}$ 群に6カ月、1・2カ月の時点でみられた肺胞部における腺様化生は $\text{NO}_2$ 或いは炭粉(or Bp)の単独または複合影響と考えられる。さらにこの病変が $\text{NO}_2$ 単独群にみとめられないとおよび前年のBp群にて10カ月の時点で1例に類表皮様増殖をみとめたにすぎないことを考えるとこの病変は $\text{NO}_2$ とBpの複合作用と考えるのが妥当であろう。このような化生病変が前年ではみとめられなかった原因としては $\text{NO}_2$ 曝露条件の差或いは $\text{NO}_2$ 曝露に先行した $\text{O}_3$ 曝露が考えられる。しかし、端的にその原因を決定することは出来ないが、組織像から $\text{NO}_2$ 曝露直前に $\text{O}_3$ による傷害が残存して居り $\text{NO}_2$ ガスが傷害組織に負荷効果を示したことも十分に原因として考慮得る。

## (2) 免疫学的検討

$\text{IgG}$ については $\text{O}_3$ 曝露後に有意の低値が実験群にみとめられた。また、 $\text{IgA}$ に関しては、 $\text{Bp} + \text{NO}_2$ 群において $\text{O}_3$ 曝露後に、 $\text{NO}_2$ 群で $\text{NO}_2$ 曝露直後にそれぞれ有意に低い値がみとめられた。これらの結果は $\text{NO}_2$ 群に関する $\text{IgA}$ の低値も $\text{NO}_2$ 曝露に先行した $\text{O}_3$ 曝露を考慮すると、 $\text{IgG}, \text{IgA}$ の低値は $\text{O}_3$

曝露により惹起されたと考えられる。さらに、前年の結果を対比してみると、前年ではBp注入2週後に $\text{IgG}$ の有意な低値を示した以外有意差はみとめられていない。このことを今回の実験と前年の実験との実験条件の差に原因を求めるすれば、 $\text{O}_3$ 曝露の有無に帰着する。しかし、家兎における低濃度 $\text{O}_3$ 曝露実験<sup>4)</sup>および $\text{NO}_2$ との交互曝露実験<sup>5)</sup>では高値傾向が示されている。従って、今回の結果はデータの提示にとどめるのが妥当と考えられた。

## (3) 生化学的検討

$\text{O}_3$ と $\text{NO}_2$ は生体の脂質に対し異なる作用機序を有すると考えられている。<sup>6)</sup>今回の実験もまた複合的条件設定のもとに行われており、したがって、生化学的検討の対象として脂質の過酸化の状態およびその分解を担うGPO活性を始めとしGOT, GPT, ALP, LDHの各酵素系の変動をBpとの関連を含め検討した。その結果、血清中過酸化脂質含量については、 $\text{O}_3$ 曝露後の群で高い値を示しており、明らかに脂質過酸化の影響が現われている。 $\text{NO}_2$ 曝露後は、対照との差は見られない。またこの時の血清中GPO活性は、やや高い値を示すが有意ではない。他の血清中酵素についても、複雑な動きを示し、 $\text{NO}_2, \text{Bp}$ との関連は不明であった。ヘマトクリット値については、 $\text{NO}_2$ 曝露群が曝露直後で有意に上昇した。

## 2 病理組織学的検討

### (1) 方 法

観察時期に達した動物はネンブタールで麻酔し、放血殺した。剖検後、肺は喉頭部より気管と共に剥出し、直ちに10%バッファーホルマリンを注入し、原型に復するように膨張させた後、固定液中に浸漬し固定した。以後、型の如くパラフィン包埋、薄切した後HE

染色、P A S、A Z A N染色を実施し観察に供した。なお、肝臓、腎臓、脾臓、心臓についても併せて検索した。

## (2) 結 果

Bp+NO<sub>2</sub>群: O<sub>3</sub>曝露後3日で肺に炭粉(or Bp)による軽度な異物性炎症が見られ、同時にO<sub>3</sub>による肺胞炎も観察された。NO<sub>2</sub>曝露直後では末梢細胞気管支上皮の軽度過形成が見られたが、O<sub>3</sub>による肺胞炎は見られなくなった。NO<sub>2</sub>曝露後1ヶ月で末梢細胞管支上皮の過形成および急性異物性炎症は見られなくなったが、NO<sub>2</sub>曝露後3ヶ月では肺胞炎が再度出現し、以後12ヶ月まで認められた。また、囲管性および気管支周囲にリンパ球浸潤が2ヶ月で2/3例、6ヶ月で4/5例、12ヶ月で2/8例観察された。さらにNO<sub>2</sub>曝露後6ヶ月から肺胞部に腺様化生が3/5例みられ、12ヶ月では8/8例に認められた。

NO<sub>2</sub>群: O<sub>3</sub>曝露後3日でO<sub>3</sub>による肺胞炎が見られたが、NO<sub>2</sub>曝露直後では認められなくなった。しかし、末梢細胞管支上皮の軽度過形成が5/5例観察された。この変化はNO<sub>2</sub>曝露後1ヶ月で見られなくなった。なお、肝臓、腎臓、脾臓、心臓について著変は認められなかった。

## 3 免疫学的検討

### (1) 方 法

#### ア 血清中 IgG, IgA

解剖時に後大静脈より採取した血液から血清を分離し、市販(Miles)の抗ラットIgG血清(ウサギ)および抗ラットIgA血清(ヤギ)を用いて、単純放射状免疫拡散法によって定量した。IgGの濃度は市販のラットIgGを標準に用い、mg/mlの値で、IgAは曝露直前群の平均値を100として相対値で表わした。

#### イ 血清中総蛋白質量

ピュレット反応によって定量し、牛血清アルブミンを標準に用いmg/mlの値で表わした。

#### ウ 血清蛋白分画値およびA/G比

セルロースアセテート膜(セパラックス)を用いた電気泳動法(0.5mA/cm, 60分)を用い、デンシトメーターにより測定した。

## (2) 結 果(図2参照)

#### ア 血清中 IgG, IgA

O<sub>3</sub>曝露後に、Bp+NO<sub>2</sub>群およびNO<sub>2</sub>群のIgG

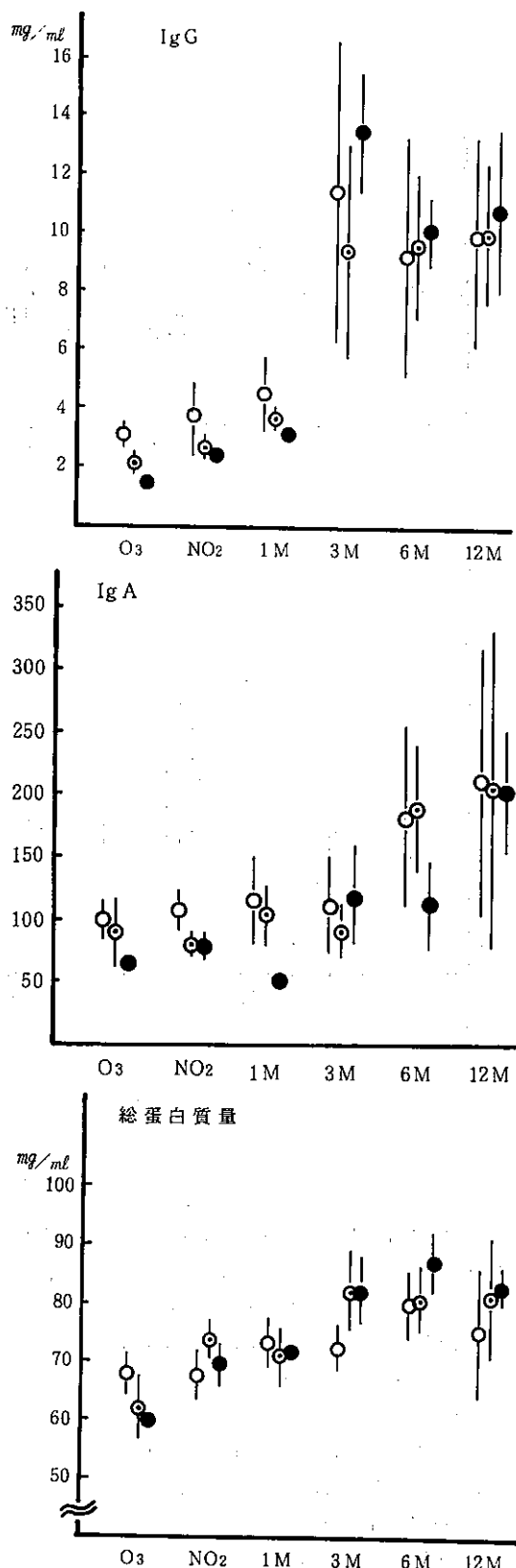


図2 免疫学的検討(1)

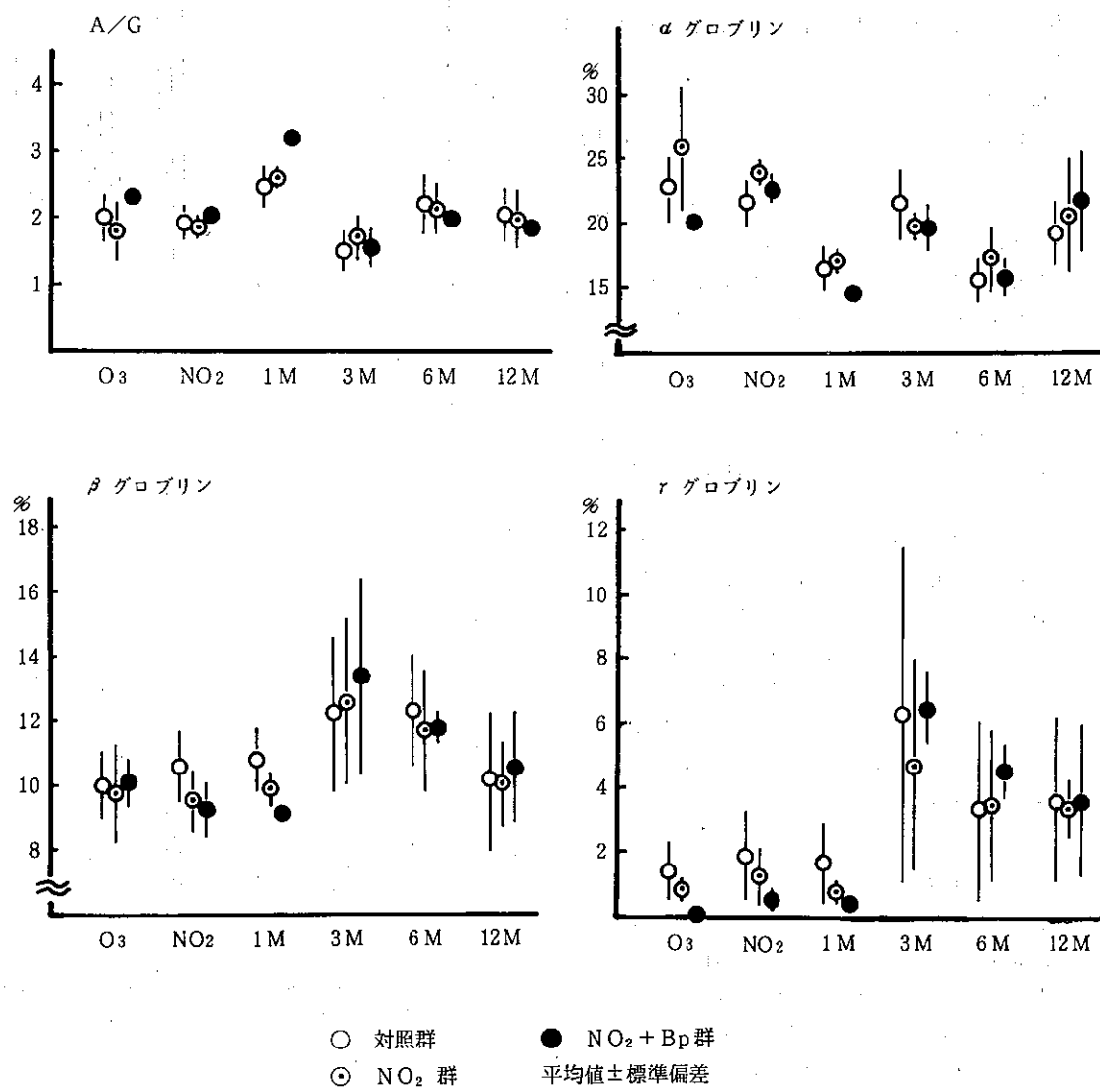


図2 免疫学的検討(2)

が対照群と比較して有意 ( $P < 0.01$ ,  $P < 0.05$ ) に低い値を示した。この傾向は、有意差はないが、NO<sub>2</sub>曝露終了後1カ月まで持続した。

IgA値は、O<sub>3</sub>曝露後にBp+NO<sub>2</sub>群で、NO<sub>2</sub>曝露直後にNO<sub>2</sub>群でそれぞれ有意 ( $P < 0.05$ ) に低かった。

NO<sub>2</sub>曝露終了後3カ月以降は、IgG, IgAともに各群間の差異は認められなかった。

#### イ 血清中総蛋白質量

O<sub>3</sub>曝露後にBp+NO<sub>2</sub>群が有意に ( $P < 0.05$ )

に低い値を示し、NO<sub>2</sub>曝露終了後3カ月にBp+NO<sub>2</sub>およびNO<sub>2</sub>群で有意 ( $P < 0.01$ ) に高い値を示した。

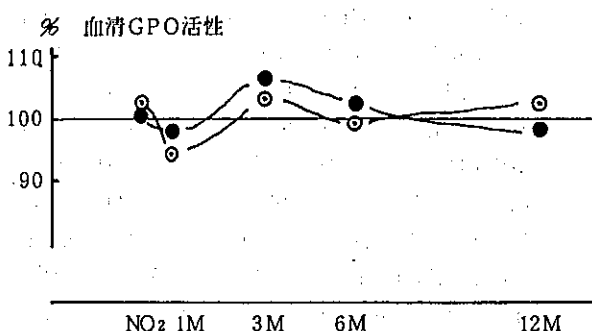
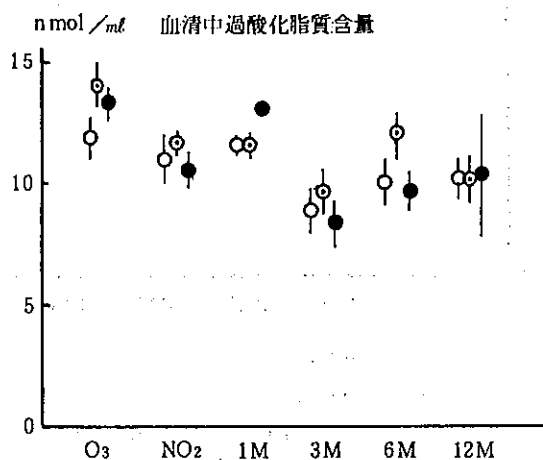
#### ウ 血清蛋白分画値およびA/G比

Bp+NO<sub>2</sub>群で、O<sub>3</sub>曝露後にA/G比が有意 ( $P < 0.05$ ) に高く、NO<sub>2</sub>曝露直後に $\gamma$ グロブリン分画値が有意 ( $P < 0.05$ ) に低かった他は、血清蛋白分画値およびA/G比とも各群間で有意な差は認められなかった。

#### 4 生化学的検討

##### (1) 方 法

今回検討した項目は、血清について過酸化脂質含量(TBA法), GOT, GPT, ALP, LDHを、またグルタチオノペルオキシダーゼ(GPO)活性を測定した。臓器は、肝臓の過酸化脂質含量(TBA法)および、GPO活性を対照群とNO<sub>2</sub>群について測定した。血液は、ヘマトクリット値を測定した。過酸化脂質含量はTBA法により測定し、数値はマロンジアルデヒドのモル吸光係数をもとに算出した。GPO活性は過酸化水素を基質とするPaglia, D. E. and Valentine, W. N. の方法によった。<sup>7)</sup>肝臓は生理食塩水で灌流後、剥出し20%ホモジネートとなるよう等張リン酸緩衝液(pH 7.0)を加え、ホモジナイズし、900×g, 15分, 4°Cで遠心分離し上清を試料とした。血清中GOT, GPT, ALP, LDHについてはRABA 3010(中外製薬)を用い測定した。



ヘマトクリット値はミクロヘマトクリット法で行った。

##### (2) 結 果(図3参照)

血清中過酸化脂質含量については、O<sub>3</sub>曝露後の群では高い値を示し、明らかに脂質過酸化の影響が見られた。NO<sub>2</sub>曝露後については、防御系亢進のためか、特に差は見られない。この時の血清中GPO活性はやや高い値を示すが有意ではない。この後の血清中過酸化脂質含量は、差の大きなものもみられるが、複雑な動きをしておりNO<sub>2</sub>Bpとの関連は明らかではない。また、血清中GPO活性は、NO<sub>2</sub>曝露後1ヶ月でやや下がり、3ヶ月で上昇するが、いずれも10%程度の変動であった。肝臓については、脂質過酸化の影響を検索するため、過酸化脂質含量、GPO活性を対照群、NO<sub>2</sub>群について測定した。NO<sub>2</sub>曝露後1ヶ月以後、時間を経ると肝中過酸化脂質含量については、

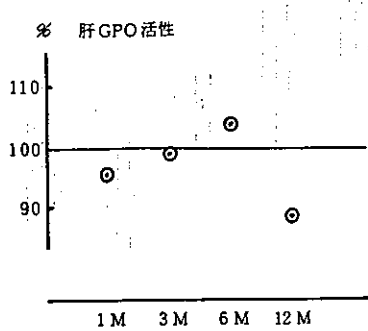
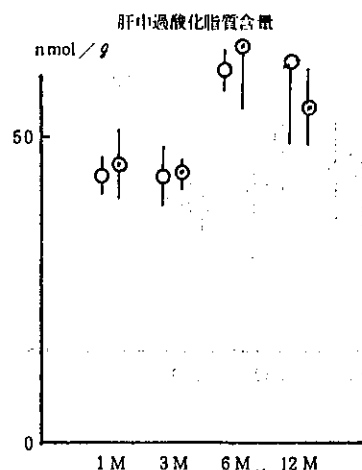


図3 生化学的検討(1)

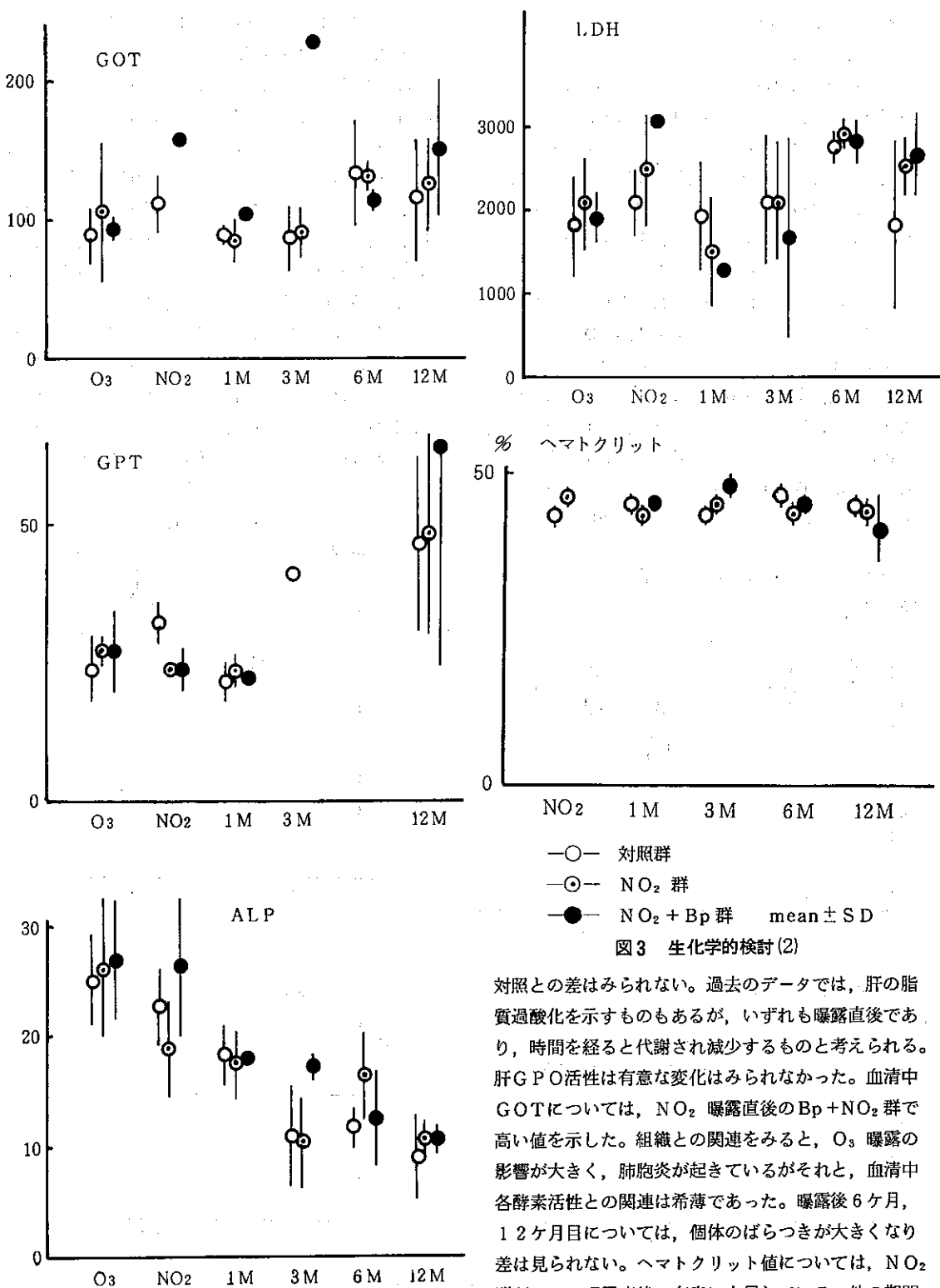


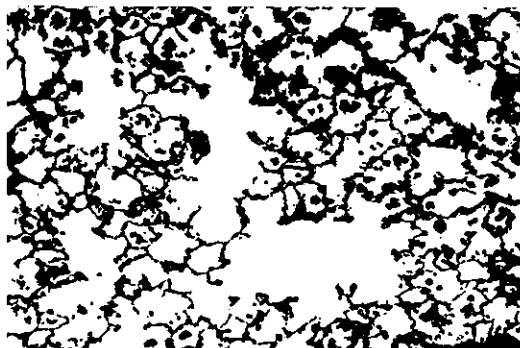
図3 生化学的検討(2)

対照との差はみられない。過去のデータでは、肝の脂質過酸化を示すものもあるが、いずれも曝露直後であり、時間を経ると代謝され減少するものと考えられる。肝GPO活性は有意な変化はみられなかった。血清中GOTについては、NO<sub>2</sub>曝露直後のBp+NO<sub>2</sub>群で高い値を示した。組織との関連をみると、O<sub>3</sub>曝露の影響が大きく、肺胞炎が起きているがそれと、血清中各酵素活性との関連は希薄であった。曝露後6ヶ月、12ヶ月目については、個体のばらつきが大きくなり差は見られない。ヘマトクリット値については、NO<sub>2</sub>群がNO<sub>2</sub>曝露直後で有意に上昇している。他の期間

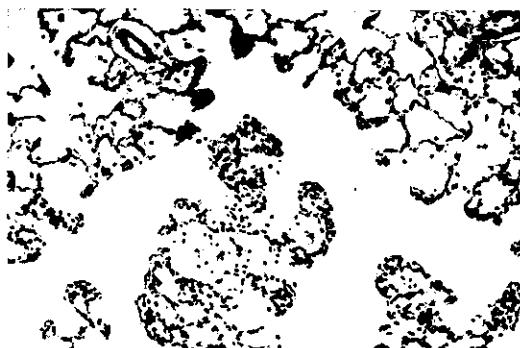
については一定の傾向は見られない。 $O_3$ 曝露においては、曝露群でHtが上昇する傾向が見られるが、 $NO_2$ 曝露後に同様の反応があったと考えられる。今回の $O_3$ および $NO_2$ 曝露は明らかに脂質過酸化の影響をおよぼしたと考える。

#### 参考文献

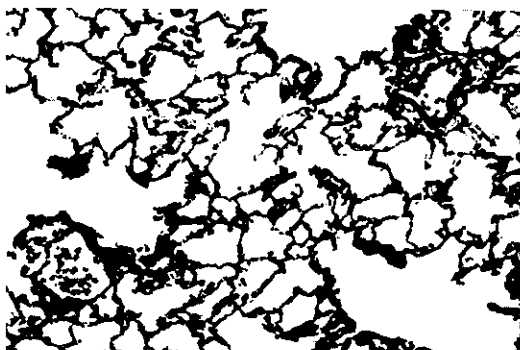
- 1) 遠藤立一ほか： $NO_2$ ガス曝露ラットの発癌に関する研究、東京都公害研究所年報、255(1981)。
- 2) 山本法、蓮沼広子：老令Wister-JCLラットにおける上皮組織の病変について、埼玉県立衛生短期大学紀要、4, 15, (1979)。
- 3) 浪江健二：塵肺の組織学的研究、お茶の水医学誌、15, (1), 21, (1967)。
- 4) 遠藤立一ほか：低濃度 $O_3$ 曝露による有害性の検討、東京都公害研究所年報、245, (1981)。
- 5) 遠藤立一ほか：大気汚染の生体に及ぼす影響、東京都公害研究所報告書、101, (1978)。
- 6) Roehm, J. N. et al.: Oxidation of Unsaturated Fatty Acids by Ozone and Nitrogen Dioxide, *Arch. Environ. Health*, 23, 142, (1971)。
- 7) Paglia, D.E., W.N. Valentine: Studies on the Quantitative and Qualitative Characterization of Erythrocyte Glutathione Peroxidase, *J. Lab. and Clin. Med.*, 70, 158, (1967)。



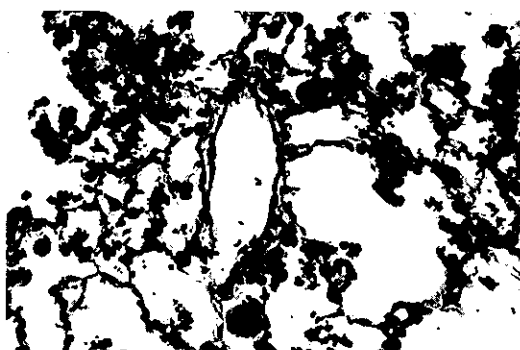
粉じんとO<sub>3</sub>曝露による急性異物性肺炎, Bp注入後10日目およびO<sub>3</sub>曝露後3日目 Bp + NO<sub>2</sub>群,  
× 100



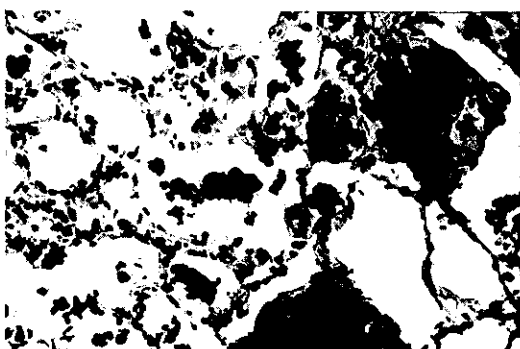
O<sub>3</sub>曝露による肺胞炎  
O<sub>3</sub>曝露後3日目, NO<sub>2</sub>群, × 100



NO<sub>2</sub>曝露による末梢細気管支の軽度増殖, NO<sub>2</sub>曝露直後, NO<sub>2</sub>群, × 100



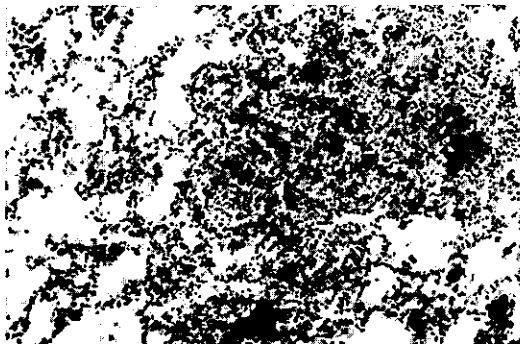
異物性肺胞炎, NO<sub>2</sub>曝露後3ヶ月, Bp + NO<sub>2</sub>群,  
× 200



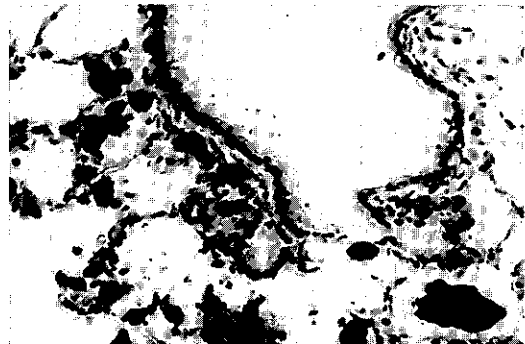
異物性肺胞炎, NO<sub>2</sub>曝露後3ヶ月,  
Bp + NO<sub>2</sub>群, × 200



異物性肺胞炎, 炭粉(Bp)が肺胞中隔に取り囲まれている(矢印), NO<sub>2</sub>曝露後3ヶ月,  
Bp + NO<sub>2</sub>群, × 200



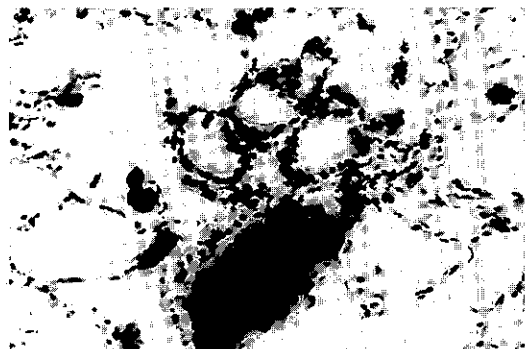
粉じんによる異物性肺炎, NO<sub>2</sub>曝露後3ヶ月,  
Bp+NO<sub>2</sub>群, ×100



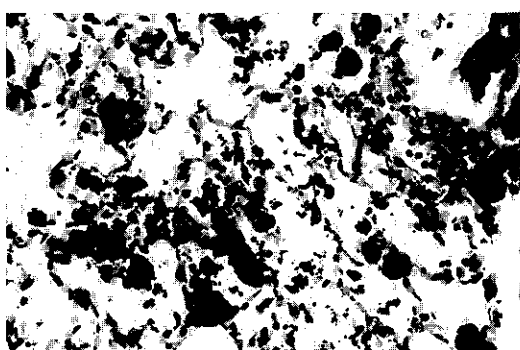
末梢細気管支近位に見られた腺様化生, NO<sub>2</sub>曝露  
後6ヶ月, Bp+NO<sub>2</sub>群, ×200



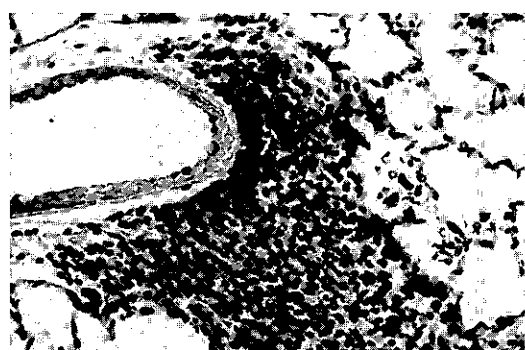
腺様化生, NO<sub>2</sub>曝露後6ヶ月 Bp+NO<sub>2</sub>群, ×200



腺様化生, NO<sub>2</sub>曝露後6ヶ月 Bp+NO<sub>2</sub>群, ×200



粉じんによる異物性肺炎, NO<sub>2</sub>曝露後6ヶ月,  
Bp+NO<sub>2</sub>群, ×200



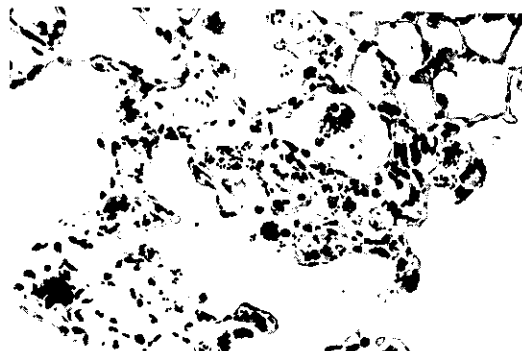
リンパ球の閉管性浸潤, NO<sub>2</sub>曝露後6ヶ月,  
Bp+NO<sub>2</sub>群, ×200



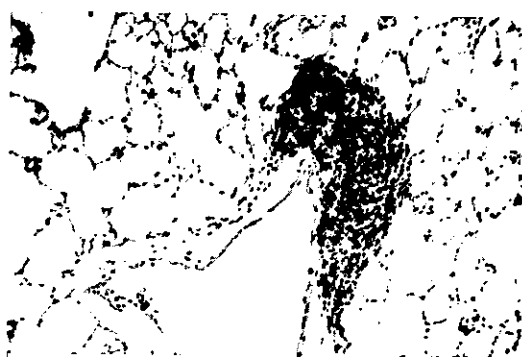
末梢細気管支近位のリンパ球浸潤NO<sub>2</sub>曝露後6ヶ月,  
Bp+NO<sub>2</sub>群, ×200



末梢細気管支近位に見られた腺様化生, NO<sub>2</sub>曝露  
後12ヶ月, Bp+NO<sub>2</sub>群, ×200



粉じんによる肺胞炎, 浮腫が見られる, NO<sub>2</sub>曝露  
後12ヶ月, Bp+NO<sub>2</sub>群, ×200



リンパ球の胞管性浸潤, NO<sub>2</sub>曝露後12ヶ月,  
Bp+NO<sub>2</sub>群, ×100



肺胞に見られた腺様化生, NO<sub>2</sub>曝露後12ヶ月,  
Bp+NO<sub>2</sub>群, ×200



腺様化生, NO<sub>2</sub>曝露後12ヶ月  
Bp+NO<sub>2</sub>群, ×200